



ارزیابی جریان سطحی رودخانه کوپال و پتانسیل تولید رواناب محدوده کانون تولید گرد و غبار جنوب شرق اهواز به منظور مرتبط سازی

سکینه لطفی نسب اصل^۱، محمد خسروشاهی^۲، آزاده گوهردشت^۳، فرهاد خاکساریان^۴ و حمید رضا عباسی^۵

۱- استادیار، بخش تحقیقات بیانی، موسسه تحقیقات جنگل‌ها و منابع کشور، سازمان تحقیقات، آموزش و ترویج کشاورزی،

وزارت جهاد کشاورزی، تهران، ایران، (نویسنده مسؤول): rifr.ac.ir (s.lotfinasab@rifr.ac.ir)

۲ و ۳- دانشیار، پژوهشگر و مربی، بخش تحقیقات بیانی، موسسه تحقیقات جنگل‌ها و منابع کشور، سازمان تحقیقات، آموزش و ترویج کشاورزی،

وزارت جهاد کشاورزی، تهران، ایران

تاریخ دریافت: ۱۳۹۷/۰۷/۲۲ تاریخ پذیرش: ۱۳۹۹/۰۵/۱۲

صفحه: ۴۳ تا ۵۷

چکیده

قرار گرفتن ایران بر روی کمربند خشک جهانی، بروز پدیده تغییر اقلیم و گرمایش جهانی و افزایش دخالت‌های انسانی موجب افزایش طوفان‌های گرد و غبار در نواحی غربی و جنوب غربی کشور به خصوص در استان خوزستان شده است. تحقیق حاضر با هدف بررسی منابع آبی موجود استان برای عملیات مرتبط سازی کانون تولید گرد و غبار جنوب شرق اهواز با درجه اولیت اول از نظر مهار و احیا به راحله ضربتی و سریع پرداخته است. از آنجا که این کانون در محدوده زیر‌احواز رودخانه کوپال و تحت تاثیر آن قرار دارد به منظور بررسی میزان آبدی و جریان رواناب این رودخانه، و نیز پتانسیل تولید رواناب این کانون ایستگاه کوپال نمره ۳ انتخاب و آمار دیگر و بارندگی روزانه آن به ترتیب طی سال‌های ۱۳۹۳ تا ۱۳۶۱ تا ۱۳۹۱ مورد بررسی قرار گرفت و برای بررسی چگونگی شکل‌گیری و براورده جریانات سطحی در اثر بارندگی بر روی زمین از روش سازمان حفاظت خاک آمریکا (SCS) همراه با بکارگیری از تکنیک‌های GIS و RS استفاده شد. نتایج نشان داد میانگین آبدی سالانه رودخانه کوپال در ایستگاه کوپال نمره ۳، معادل ۲۴.۶ متر مکعب در ثانیه بوده به طوریکه بیشترین آبدی در فصل زمستان و کمترین آن در فصل تابستان رخ داده است. از طرفی محدوده مورد مطالعه از کانون جنوب شرق اهواز خود می‌تواند سالانه روانابی به حجم ۳۴.۱۴ میلیون مترمکعب تولید کند که ۳۱ میلیون مترمکعب آن در فصول پاییز و زمستان اتفاق می‌افتد. لذا می‌توان با توجه به حجم رواناب سالانه رودخانه کوپال و نیز کانون جنوب شرق اهواز با توجه به افزایش فراوانی باد جنوب شرقی به عنوان عامل اصلی طوفان‌های گرد و غبار شهر اهواز در فصل زمستان، با مدیریت صحیح مصرف و برداشت آب در بالادست این رودخانه وجود پتانسیل تولید رواناب کانون جنوب شرق جهت انجام عملیات مرتبط سازی و احیای پوشنش گیاهی مرتتعی به کمک این منابع آبی اقدام نمود.

واژه‌های کلیدی: رواناب سطحی، رودخانه کوپال، روش SCS، کانون جنوب شرق اهواز، کانون‌های گرد و غبار داخلی

خشکسالی‌ها می‌گردد. از سوی دیگر عدم توجه و رها کردن اراضی وسیع و مستعدی از جهت ایجاد یک سیستم بزرگ فرسایش بادی که نتیجه آن بروز طوفان‌های مهیب گرد غبار در حاشیه کلان شهری چون اهواز گردیده است، می‌تواند مسائل اقتصادی، اجتماعی، بهداشتی و حتی امنیتی آن را دچار تهدیدهای جدی بنماید. با توجه به اهمیت موضوع، به همت اداره کل زمین‌شناسی و اکتشاف معدنی منطقه جنوب باختری در آبان ماه سال ۱۳۹۴، مشاهداتی داخلی استان خوزستان به طور دقیق و محلی در قالب طرح "شناസایی مشاهداتی گرد و غبار" در قالب هفت کانون شناسایی شدند. این کانون‌ها مساحتی حدود ۳۵۰۰۰ هکتار از مناطق مسطح دشت خوزستان را در برگرفته‌اند. با توجه به مساحت زیاد کانون‌های گرد و غبار در این استان و صرف منابع هنگفت مالی و زمانی و همچنین خسارات‌های کلان این پدیده در عرصه سلامت جامعه شهری - روسانی، محیط‌زیست و اقتصاد، طرح اولویت‌بندی مشاهداتی تولید گرد و غبار در دستور کار آن مرکز قرار گرفت و در نهایت کانون جنوب و جنوب شرق اهواز (شماره ۴) با مساحت ۱۱۳۳۸۵ هکتار جزو کانون‌های فوق بحرانی شناسایی، معرفی و در اولویت مهار و احیاء قرار گرفت (۶). از آنجا که راهکار مهمن و اورژانسی احیای کانون‌های بحرانی، مرتبط سازی و پخش آب است،

مقدمه

ایران با مساحتی حدود ۱/۶۵ میلیون کیلومترمربع در جنوب غرب آسیا و بر روی کمربند خشک و گرد و خاک جهان واقع شده است و در نواحی متعددی از جمله مناطق مرکزی، غرب، شرق، جنوب شرق و بؤیژه جنوب غرب با پدیده گرد و غبار مواجه است. عمدتاً منشاء گرد و خاک صحرای عربستان و شمال آفریقا و جنوب عراق است و در دوره‌های خاصی از سال بیشتر نواحی جنوب غربی و غرب کشور را تحت تاثیر قرار می‌دهد. در سال‌های ۸۵ و ۸۶ پدیده گرد و خاک با منشاء عراق، سوریه و اردن، ایران را تحت تاثیر قرار داد و بدليل آنکه ریزدانه تر بود، تداوم زمانی بیشتری داشت و سطح گستردگی تری از کشور را تحت تاثیر قرار داد به طوریکه تا نواحی مرکزی و دامنه‌های جنوبی البرز هم رسید. بروز پدیده گرد و خاک در استان خوزستان در جنوب‌غربی کشور از نظر تکرار و استمرار در سال‌های اخیر روند افزایشی داشته است. این پدیده کاهش کیفیت زندگی، تهدید سلامت مردم، کاهش کیفیت هوای کاهش اینمنی راه‌های موصلاتی وغیره را در پی داشته است (۳). وقوع پدیده گرد و غبار متأثر از همگرایی عوامل اقلیمی، هیدرولوژیکی، مدیریت ناکارآمد منابع آب و کاربری اراضی می‌باشد، که عدم توجه به این عوامل موجب بروز گرد و غبار خصوصاً در سال‌های متنه به

روش SCS برای برآورد رواناب آبریز قره‌چای استفاده نمودند. آنها عمق رواناب را به هفت کلاس تقسیم نمودند و احتمال وقوع هر یک از کلاس‌ها را برای دوره‌های بازگشت ۰، ۲۵، ۵۰، ۱۰۰ و ۲۰۰ ساله محاسبه نمودند. آنها نشان دادند که انطباق بسیار زیادی بین نقشه مدل رقومی و عمق رواناب جریان وجود دارد. به طوری که با حرکت از مناطق مرتع به سمت مناطق پست حوزه، سطوح با عمق رواناب کمتر افزایش می‌یابند. ثروتی و همکاران (۱۷) با استفاده از روش شماره منحنی در آبخیز لیان چای به برآورد ضریب رواناب حداقل دبی سیل و به تبع آن عوامل و عناصر موثر در سیل خیری و پهنه‌بندی آن پرداخته‌اند. آنها دریافتند که پتانسیل تولید رواناب و درجه سیل خیزی در قسمت‌هایی که دارای سازندهای آندریت داسیتی، آندریت کوارتزی و خاکستر آتشفشاری هستند و نقاطی که تقریباً شبیه‌ی زیادی دارند بیشتر می‌باشد. حسین‌زاده (۹) با استفاده از روش شماره منحنی به برآورد ارتفاع و دبی اوج رواناب در موقع فرسایش آبراهه‌ای در منطقه‌ی کجور نوشهر پرداخت و به این نتیجه رسید که اراضی جنگلی دارایی کمترین و اراضی مرتعی بیشترین توان تولید رواناب و موقع فرسایش و تشکیل خندق در منطقه را دارند و دبی اوج در کلاس هیدرولوژیک D قرار دارد. لا جوردی و همکاران (۱۲) به پهنه‌بندی پتانسیل سیل خیزی حوزه آبریز مردق چای (آذربایجان شرقی) اقدام کردند. آنها در این پژوهش به برآورد ضریب رواناب و حداقل سیل خیزی حوزه‌ی آبریز پرداختند و دریافتند که بیشترین پتانسیل سیل خیزی علاوه بر مناطق دارای شبیه‌بای در مناطقی که دارای سازندهای نفوذناپذیر زمین‌شناسی هستند صورت می‌گیرد.

تحقیق حاضر با هدف بررسی منابع آبی موجود استان جهت عملیات مرتبط‌سازی و پخش آب و احیای پوشش گیاهی به عنوان یکی از راه حل‌های ضربتی و سریع جهت کانون جنوب شرق اهواز با اولویت اول از نظر مهار و احیاء از طریق ارزیابی وضعیت جریان سطحی رودخانه کوپال در بالادست و منتهی به این کانون و نیز تخمین پتانسیل تولید رواناب سطحی توسط خود کانون به‌منظور بکارگیری در عملیات مرتبط‌سازی و پخش آب با روش حفاظت خاک آمریکا (SCS) و استفاده از تکنیک‌های GIS و RS پرداخته است.

مواد و روش‌ها

موقعیت مورد مطالعه

وضعیت اقلیمی کانون ریزگرد جنوب شرق اهواز بر اساس روش طبقه‌بندی اقلیمی دومارتن اصلاح شده، اقلیم منطقه مطالعاتی با متوسط بارندگی سالانه ۲۰۰ میلی‌متر فراخشک گرم بوده و رطوبت نسبی و متوسط تبیخیر و تعرق سالانه آن به ترتیب بین ۴۴ تا ۴۸ درصد و ۱۲۵-۱۲۰ میلی‌متر تغییر می‌کند. از طرفی دمای متوسط سالانه بین ۲۷-۲۶ درجه سانتی‌گراد، دمای متوجه حداقل سالانه بین ۱۹-۱۸ و متوسط حداقل سالانه بین ۳۳-۳۲ سانتی‌گراد متغیر می‌باشد. دمای حداقل مطلق منطقه نیز در بازه ۵۲-۵۱ درجه سانتی‌گراد و حداقل دمای مطلق، ۱-تا-۲ در منطقه تغییر

ارزیابی جریان سطحی رودخانه‌های بالادست و منتهی به این کانون و تخمین پتانسیل تولید رواناب سطحی آن به‌منظور استفاده در عملیات مرتبط‌سازی از ضروریات تحقیق در کانون بحرانی جنوب شرق اهواز واقع در زیر حوزه آبریز رودخانه کوپال می‌باشد که با استفاده از ایستگاه هیدرومتری کوپال نمره ۳ به عنوان آخرین ایستگاه بر روی رودخانه کوپال و در بالادست کانون جنوب شرق اهواز مورد مطالعه قرار گرفتند. تولید ذرات گرد و غبار در محل این کانون در شکل ۱-الف نشان داده شده است.

برآورد رواناب حاصل از بارش‌های جوی از اهمیت خاصی در هیدرولوژی و مدیریت حوزه‌های آبخیز و حفاظت از آب و خاک برخوردار است (۱۰). رواناب سطحی زمانی تشکیل می‌گردد که شدت بارندگی بیش از میزان نفوذپذیری خاک باشد (۱۴). مشخصات باران، خصوصیات خاک و نیز ویژگی‌های سطح حوزه نقش مهمی در تشکیل رواناب ایفا می‌کنند (۱۷، ۱۶). یکی از روش‌های مهم برآورد رواناب حاصل از بارش‌های رگباری در حوزه‌های فاقد آمار، روش حفاظت خاک آمریکا (SCS) می‌باشد. در این روش تعیین شماره منحنی رواناب که تابعی از ویژگی‌های خاک، کاربری اراضی و پوشش گیاهی است، ضروری می‌باشد. این روش، بیشتر در حوزه‌های آبخیزی که داده‌های اندازه‌گیری دبی رواناب ندارند، به کار می‌رود (۱۹). سوری نژاد (۱۸) از GIS برای برآورد حجم رواناب حوزه آبریز رودخانه کشکان استفاده نمود و به این نتیجه رسید که مؤلفه‌های حاصل از ادغام مدل‌های تجربی با الگوریتم‌های GIS جهت تهیه مدل‌های مورد نیاز در شبیه‌سازی مدل‌های بارش- رواناب دارای ضریب اطمینان زیادی هستند.

جاسروتیا و سینگ (۱۱) و دی وینر و همکاران (۸) نیز از سامانه اطلاعات جغرافیایی و روش SCS برای شناسایی محل‌های مناسب استحصال رواناب در مناطق نیمه‌خشک و مدل‌سازی فرسایش خاک استفاده کرده‌اند و به نتایج قابل قبولی رسیده‌اند.

پورهمت و کاظمی (۱۵) به مدل‌سازی منطقه‌ای و ارزیابی ضریب جریان در آبریز کرخه پرداخته و نتیجه گرفتند که عوامل مورفومتری، زمین‌شناسی و هیدرولوژی و لیتو‌لوژی نقش مهمی در تعیین ضریب جریان در برخی از زیرحوزه‌های حوزه آبریز کرخه دارند.

عطیمی‌راد و همکاران (۵) برای تعیین پتانسیل سیل خیزی در محدوده حوزه کشف رود با وسعت ۸۹۹۶ کیلومترمربع از روش SCS اصلاح شده، در محیط GIS و براساس مدل رقومی ارتفاع، پهنه‌بندی توزیع بارش، محاسبه تلفات بارش، نقشه کاربری اراضی و بر مبنای طبقه‌بندی حوزه‌های آبخیز تماش درجه ۴ استفاده کردند. آنها دریافتند که از مجموع مساحت حوزه، ۶۸/۲۵ درصد آن دارای پتانسیل سیل خیزی نرمال، ۲۵/۵ درصد بحرانی، ۶/۲۵ درصد دارای پتانسیل سیل خیزی فوق بحرانی است.

آموتا و پورچلوان (۲) با استفاده از روش شماره‌ی منحنی رواناب سطحی زیرحوزه ملاتار را طی سال‌های ۱۹۷۱-۲۰۰۷ برآورد نمودند. ماریجانی و معروفی (۱۴) از GIS و

و نهر مالح که رسوب‌گذاری آنها باعث بوجود آمدن دشت رسوبی رودخانه‌ای شده است و به طور کلی این حوزه از دو رودخانه جراحی و کوپال تغذیه می‌شود (شکل ۱-ب) رودخانه کوپال در مناطق پایین دست به عنوان یک آبراهه فصلی شناخته می‌شود که رواناب‌های حاصل از حوزه‌های کوچک واقع در دشت رامهرمز را جمع‌آوری کرده و در موقعیت سیلاب‌های بزرگتر در سطح وسیعی بخصوص کانون ریزگرد جنوب شرق اهواز پخش گردیده و حتی به آبراهه مالح در حوزه کارون و از آن طریق به تالاب شادگان تخلیه می‌شود. با توجه به وجود اراضی مسطح در پایین دست طاقدیس اهواز و رفتار سیلابی با مقطع بسیار زیاد رودخانه کوپال بعد از عبور از این عارضه زمین‌ساختی موجب ایجاد دشتی با ساختار رسوبی ریز دانه و رفتار سیلابی پخش آب‌گونه شده است، که در سال‌های گذشته علاوه بر کاهش شدید سهم این سیلاب‌ها متأثر از برداشت‌های بی‌رویه، وقوع خشکسالی‌ها، پنهانی مخزنی در حوزه بالادست، احداث جاده‌ها و خطوط انتقال نفت و گاز، دایک‌ها و... موجب تغییر در رژیم سیلاب‌های طبیعی منطقه و به دنبال آن خشک شدن هورهای منطقه، مانند هور شریفه گردیده و این محدوده را تبدیل به کانون تولید ذرات گردوغبار نموده است. شکل ۱-ب که عوارض موجود در کانون جنوب شرق را نشان می‌دهد، بیانگر آن است که پخشی از این عوارض مانند جاده‌ها و خاکریزهای عمده‌تاً خطوط گاز دارای جهتی عمود بر مسیر سیلاب‌ها بوده و موجب تشدید این مشکل می‌شوند. شکل ۱-ج تصویر ماهواره‌ای مین توکیت غلیظ گردوغبار در سطح استان خوزستان به علت وزش باد شدید و طوفان با منشاء خارج از کشور و تشدید آن در محل کانون شماره ۴ (جنوب شرق اهواز) به علت تخریب خاک و مساعد بودن آن به فرسایش بادی را نشان می‌دهد.

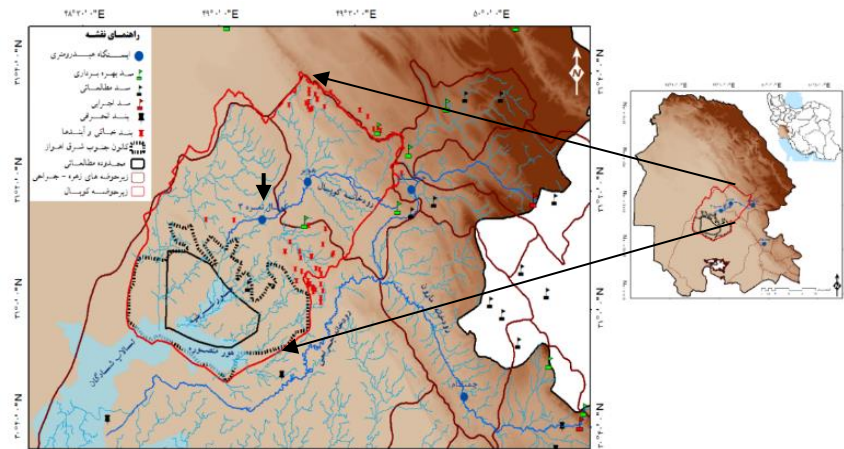
آخرین ایستگاه اندازه‌گیری آب در رودخانه کوپال تحت عنوان کوپال نمره ۳ بوده که در نزدیکی کانون ریزگرد جنوب شرق اهواز واقع شده است و تحلیل‌های آبدی این مطالعه نیز بر مبنای داده‌های ایستگاه کوپال نمره ۳ صورت گرفته است.

می‌نماید. باد غالباً منطقه در بهار و تابستان از جهت غرب و شمال غرب می‌وزد و بیشترین فراوانی را هم در همین دو فصل یعنی دوره گرم سال دارد. در فصل پاییز و زمستان بادها از فراوانی کمتری برخوردارند اما جهت غالب آنها همان غرب و شمال غرب می‌باشد در دوره سرد سال باد جنوب و جنوب شرق نسبت به فصل گرم از فراوانی و شدت بیشتری برخوردار است. منطقه مورد مطالعه دارای ۸ ماه خشک بوده که از اوایل اسفندماه شروع شده و تا اوایل آبان ماه ادامه دارد و در حدفاصل بین آبان تا بهمن ماه میزان بارندگی بیشتر از تبیخیر و تعرق است و جزو ماههای مرطوب محسوب می‌گردد به طوریکه آذر و دی ماه جزو مرطوب‌ترین ماههای محدوده به شمار می‌آیند.

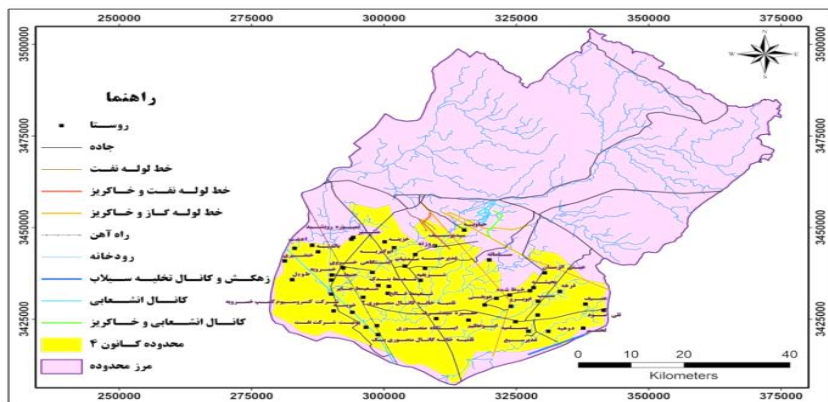
روش تحقیق

از آنجا که کانون تولید ریزگرد جنوب شرق اهواز (کانون شماره ۴) در محدوده حوزه آبریز رودخانه کوپال قرار دارد به منظور بررسی دبی و میزان آبدی و جریان رواناب این رودخانه، ایستگاه کوپال نمره ۳ با طول $10^{\circ} 16'$ ، $34^{\circ} 31'$ شمالی و ارتفاع ۳۸ متر از سطح دریا و مساحت حوزه $1555/6$ کیلومتر مربع به عنوان ایستگاه معرف زیر حوزه رودخانه کوپال انتخاب و آمار دبی و بارندگی روزانه آن به ترتیب طی سال‌های ۱۳۶۱ تا ۱۳۹۳ و ۱۳۶۱ پس از بررسی صحت داده‌ها مورد بررسی و تحلیل قرار گرفت (جدول ۱). از آنجا که کانون ریزگرد جنوب شرق اهواز ایستگاه هیدرومتری وجود ندارد و همچنین به دلیل پخش آب در انتهای محدوده نمی‌توان به اطلاعات دقیقی در خصوص جریانات سطحی خروجی دست یافتن از این رو برای برآورد ارتفاع رواناب ناشی از بارش از روش بارندگی - رواناب آمریکا (SCS) استفاده شد.

منابع آبی و عوارض موجود در کانون جنوب شرق اهواز
محدوده کانون ریزگرد جنوب شرق اهواز بخشی از آبریز منتهی به تالاب شادگان را تشکیل می‌دهد و در قسمت کم شیب و دشتی این حوزه قرار گرفته است. در محدوده مورد مطالعه سه رودخانه مهم قعال هستند رودخانه کوپال، جراحی



شکل ۱-الف- تولید ذرات گردوغبار در محل کانون شماره ۴
Figure 1. Dust production from dust source number 4



شکل ۱-ب- نقشه عوارض و جاده‌های موجود در کانون شماره ۴

Figure 1. Map of Koopal River, hydrometric station and dust source



شکل ۱-ج- تولید ذرات گرد و غبار در محل کانون شماره ۴

Figure 1. Production of dust in dust source number 4

(rings)، گروههای هیدرولوژیکی خاک تعیین و بر اساس داده‌های مذکور و استفاده از نرم‌افزار GIS نقشه رقومی آنها نیز تهیه شد. در ادامه نقشه کاربری اراضی با استفاده از تصاویر ماهواره‌ای لندست ۸ (بهمن ماه سال ۱۳۹۵)، بازدیدهای صحراوی و مطالعه پوشش گیاهی منطقه برای کانون جنوب شرق اهواز تهیه گردید. در نهایت با در نظر گرفتن موارد مذکور مطابق با جداول روش SCS، مقدار CN در شرایط رطوبتی خاک در محدوده به صورت وزنی محاسبه شد. با در نظر گرفتن مجموع بارندگی ۵ روز قبل از روز مردنظر و مقادیر بارندگی روزانه ایستگاه معرف برای این محدوده، مقدار ارتفاع رواناب روزانه در طول دوره آماری برآورد و سپس مقادیر ماهانه و سالانه آن نیز محاسبه گردید و فرض بر آن شد که چنانچه ارتفاع بارندگی کمتر از ۰/۲ مقدار S باشد روانابی بوجود نخواهد آمد. ایستگاه معرف بارندگی در این حوزه، ایستگاه بارانسنج کوپال نمره ۳ بود که با مشخص بودن میزان بارندگی و ارتفاع رواناب حاصل از روش SCS، ضریب رواناب محدوده کانون جنوب شرق اهواز از نسبت بین این دو پارامتر محاسبه گردید و سپس رابطه ریاضی بین رواناب و بارندگی محاسبه گردید.

روش بارندگی - رواناب آمریکا (SCS)

در این مرحله محاسبات مربوط به ارتفاع رواناب در عرصه کانون ریزگرد جنوب شرق اهواز با استفاده از روش SCS انجام شد. در این روش محاسبه رواناب با استفاده از روابط ۱ و ۲ صورت گرفت.

$$Q = \frac{(P-0.2S)^2}{P+0.8S} \quad (2) \quad S = \frac{25400}{CN} 254 \quad (1)$$

CN: شماره منحنی، S: ارتفاع نگهداشت آب در آغاز بارندگی (میلیمتر بارندگی که توسط پوشش گیاهی و بافت خاک جذب می‌شود و تبدیل به رواناب نمی‌شود)، P: بارندگی بر حسب میلیمتر و Q: ارتفاع رواناب بر حسب میلیمتر می‌باشد.

به منظور تعیین مقدار S و در نهایت محاسبه ارتفاع رواناب در ابتدا مقدار CN که یکی از پارامترهای موثر در تعیین رواناب در روش SCS می‌باشد با استفاده از جداول شماره منحنی اداره حفاظت خاک آمریکا بر اساس پارامتر پوشش گیاهی، گروه هیدرولوژیک خاک، نوع کاربری اراضی و شرایط قبلی رطوبتی حوزه تعیین گردید. به این منظور با توجه به نوع بافت خاک که از طریق برداشت خاک بهروش شبکه نمونه‌برداری از عرصه کانون جنوب شرق اهواز (شکل ۷) و استفاده از روش هیدرومتری تهیه شده بود و نیز تعیین میزان Double نفوذ آب به داخل خاک از طریق حلقه‌های مضاعف (

اسفند (۳/۱۶)، فروردین (۲/۸۱) و اردیبهشت (۲/۱۲) مشاهده شد. بررسی وضعیت آبدھی رودخانه کوپال در بین سال های ۱۳۸۷ تا سال ۱۳۹۳ (جدول ۱) نشان داد میزان آبدھی این رودخانه هم راستا با شرایط اقلیمی و کاهش و افزایش بارندگی به ترتیب در سال های ۱۳۸۷ (سال خشک) و ۱۳۸۸ (سال تر) بوده و پس از آن روند کاهشی داشته است.

تغییرات ماهانه دبی در ایستگاه کوپال نمره ۳

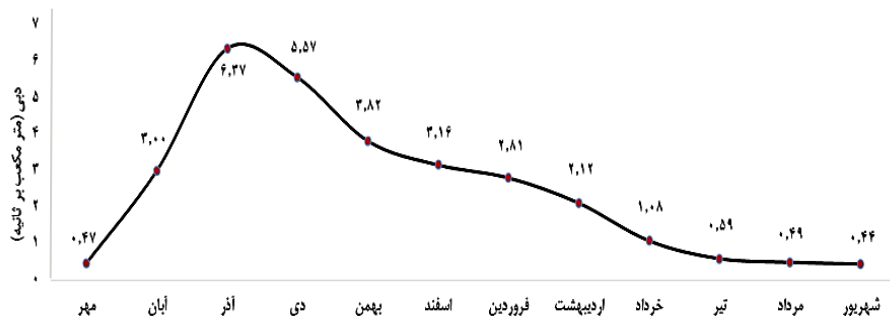
برای بررسی تغییرات ماهانه دبی در ایستگاه کوپال نمره ۳، هیدروگراف میانگین ماهانه دبی ترسیم شد (شکل ۲). مطابق با این هیدروگراف کم آب ترین ماهها به ترتیب شهرپور، مهر، مرداد، تیر و خرداد و پر آب ترین ماهها به ترتیب اذر، دی، بهمن، اسفند، آبان، فروردین و اردیبهشت ماه می باشند. نکته دیگری که از بررسی این هیدروگراف استنباط می شود این است که، ایستگاه کوپال نمره ۳ در فصل تابستان و اوایل پاییز رواناب قابل ملاحظه ای ندارد. بیشترین حجم آب در بقیه ماه های سال با توزیع نسبتا مناسبی جاری می شود و این در حالی است که بخش اعظم رواناب در شش ماهه اول سال آبی جاری می شود. به عبارتی میزان رواناب از اوایل پاییز تا پایان آن دارای شیبی مشت و افزایشی بوده و در اوایل زمستان تغییر جهت داده و بهسوی فضول بهار و تابستان روند کاهشی پیدا می کند. این امر ناشی از کاهش دما و ریزش های جوی در شش ماهه دوم سال و افزایش آن در شش ماهه اول سال می باشد. در هر حال در برنامه ریزی برای استفاده از آب در پایین دست این ایستگاه و کانون های بحرانی ریزگرد جنوب شرق اهواز بایستی به این موضوع توجه کرد.

استفاده از اطلاعات دبی روزانه ایستگاه کوپال نمره ۳
در این روش بر اساس آمار دبی روزانه ایستگاه کوپال نمره ۳ مقادیر حجم رواناب، ارتفاع رواناب و ضریب رواناب با توجه به مساحت حوزه آبریز ایستگاه کوپال نمره ۳ محاسبه و سپس مقادیر حاصل از روش SCS برای محدوده ای از کانون جنوب شرق اهواز با این مقادیر از نظر آماری مورد مقایسه قرار گرفتند. در ابتدا به وسیله آزمون ناپارامتری کولموگراف-اسمیرنوف نرمال بودن مقادیر ضریب رواناب و ارتفاع رواناب مورد بررسی قرار گرفته و سپس همیستگی بین آنها مورد بررسی قرار گرفت و در انتهای به کمک آزمون آماری 2-Sample t Test مقایسه مقادیر، مورد بررسی قرار گرفت.

نتایج و بحث

آمارهای دبی ماهانه و سالانه

پس از جمع آوری و بررسی داده های دبی رودخانه کوپال از طریق سازمان آب منطقه ای استان خوزستان و منابع مطالعاتی موجود، پارامترهای آماری شامل میانگین، ماکریتم، انحراف از معیار و ضریب تغییرات برای کلیه ماه های سال محاسبه شد. نتایج حاصل از بررسی داده های دبی بین سال های ۱۳۹۳-۱۳۶۱ نشان داد میانگین آبدھی سالانه ایستگاه کوپال نمره ۳، معادل $2/49$ متر مکعب در ثانیه ($81/363$ میلیون مترمکعب) است. حداقل و حداکثر دبی به ترتیب معادل $0/45$ و 6 متر مکعب بر ثانیه است. بیشترین آبدھی در فصل زمستان ($4/19$ مترمکعب در ثانیه) و کمترین آبدھی در فصل تابستان ($0/5$ مترمکعب در ثانیه) می باشد. از طرفی بیشترین میزان آبدھی به ترتیب در ماه های اذر ($3/82$)، دی ($5/57$)، بهمن ($6/37$)،



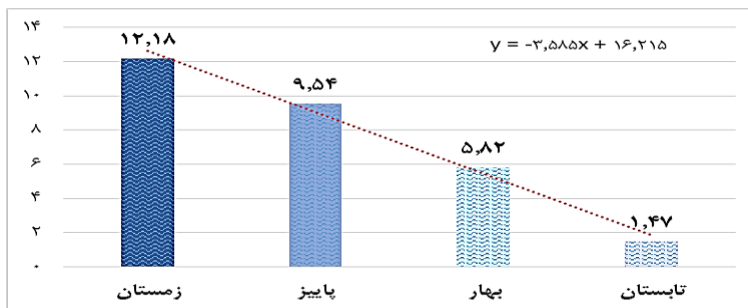
شکل ۲- تغییرات دبی متوسط ایستگاه کوپال بین سال های آبی ۹۳-۹۴ تا ۶۱-۶۲

Figure 2.Varation of water flow rate average in Koopal No3 hydrometric station between the years of 1982-2014

آذر ماه اتفاق افتاده اما متوسط دبی فصل زمستان بیشتر است و فصل پاییز میانگین دبی با شیب $3/6$ میلی متر به سمت تابستان کاهش یافته است.

تغییرات فصلی دبی در ایستگاه کوپال نمره ۳

بررسی تغییرات فصلی دبی در ایستگاه کوپال نمره ۳ (شکل ۳) نشان داد پر آب ترین فصل سال زمستان بوده و پس از آن به ترتیب فصل های پاییز، بهار و تابستان قرار دارند. بررسی شکل ۳ همچنین نشان می دهد گرچه بیشترین میزان دبی در



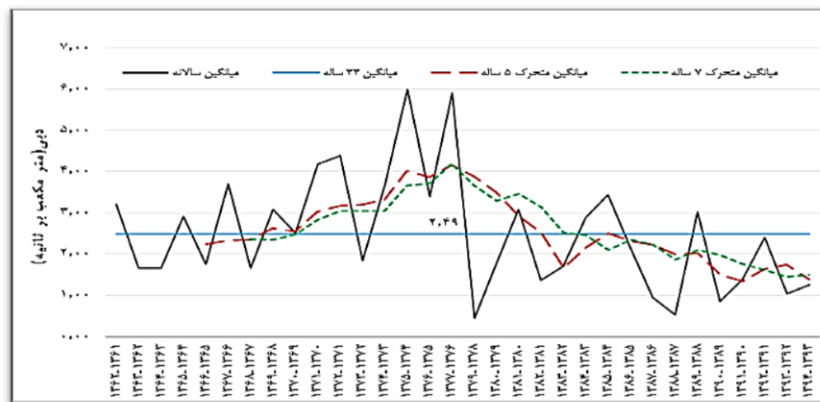
شکل ۳- تغییرات متوسط دبی فصلی ایستگاه کوپال نمره ۳ بین سال‌های آبی ۹۳-۹۴ تا ۶۱-۶۲

Figure 3. Varation of average seasonal water flow rate in Koopal No3 hydrometric station between the years of 1982-2014

نمی‌دهد. با توجه به مراتب فوق برای نشان دادن وضعیت بهتر نوسانات حول خط میانگین و تغییر دوره‌های خشک و مطری در داخل حوزه از روش میانگین متحرک استفاده شد. همانطور که میانگین متحرک ۵ ساله و ۷ ساله نشان می‌دهد ایستگاه کوپال نمره ۳ پس از خشکی خفیفی که در ابتدای دوره بین سال‌های ۶۱-۶۲ تا ۷۰-۷۱ داشته است یک دوره نرمال مطری در سال‌های ۷۱-۷۲ تا ۸۳-۸۴ تجربه کرده و در سال‌های انتهایی (۸۳-۸۴ به بعد) دوره خشک آغاز شده و یک روند سینوسی مشخصی با آهنگ نزولی بیشتر حول میانگین ۳۳ ساله تا انتهای دوره دیده می‌شود و وضعیت مطلوبی را از لحاظ آورد آبی نشان نمی‌دهد.

تغییرات سالانه دبی در ایستگاه کوپال نمره ۳

تغییرات دبی ایستگاه کوپال نمره ۳ در سال‌های مورد بررسی به صورت نمودار در شکل ۴ ترسیم شده است. همانطور که شکل ۴ نشان می‌دهد سال آبی ۷۴-۷۵ پرآب‌ترین سال و سال ۷۸-۷۹ کم آب‌ترین سال‌ها در طول دوره آماری بوده است و ۴۶ درصد از سال‌ها (۱۵ سال) دبی کمتر از دبی میانگین ۳۳ ساله ($2/49$) داشته‌اند. این شکل نشان می‌دهد که دامنه نوسانات سالانه دبی در سال‌های انتهایی بیشتر از نیمه اول دوره مورد مطالعه می‌باشد. گرچه دامنه نوسانات رواناب در بعضی سال‌ها نسبتاً زیاد می‌باشد اما چون پراکندگی در دو طرف خط میانگین، وضعیت نسبتاً متعادلی دارد لذا ضرایب تغییرات بدست آمده (۵۵ درصد) رقم بالایی را نشان



شکل ۴- تغییرات متوسط دبی سالانه ایستگاه کوپال نمره ۳ و میانگین متحرک ۷ و ۱۵ سال‌های طی سال‌های ۱۳۶۱ تا ۱۳۹۴

Figure4. Yearly variation of water flow rate average and its 7&15 years moving averages in Koopal No3 hydrometric station between the years of 1982-2014

جدول ۱- مقادیر دبی در استگاه کوپال نمره ۳ طی سال‌های ۱۳۶۱ تا ۱۳۹۳

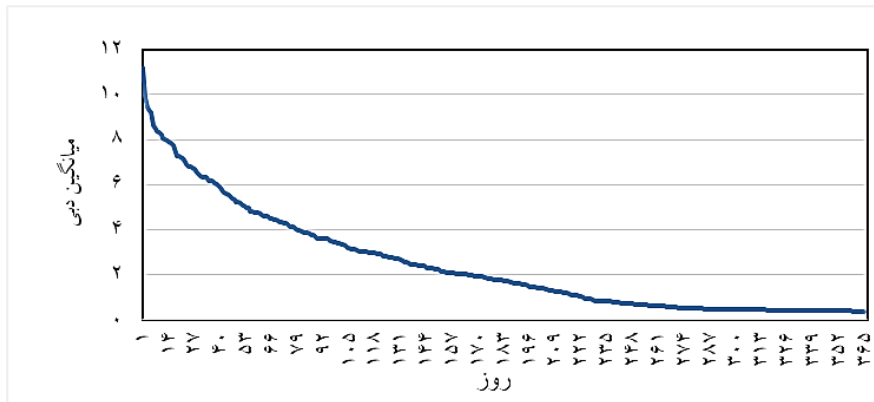
Table 1. The value of water flow rate in koopal No3 hydrometric station during the years 1982-2014

دیف	سال	آبی	مهر	آبان	دی	آذر	بهمن	اسفند	فرودین	اردیبهشت	خرداد	تیر	مرداد	شهریور	جمع سالانه	میانگین سالانه
۱	۱۳۶۱	.۷	.۷	.۵	.۸	.۳	.۲	.۹	.۸	.۲	.۳	.۶	.۷	.۶	.۶	.۶
۲	۱۳۶۲	.۷	.۷	.۴	.۵	.۳	.۳	.۸	.۷	.۱	.۳	.۴	.۴	.۴	.۴	.۴
۳	۱۳۶۳	.۶	.۶	.۴	.۴	.۳	.۳	.۸	.۷	.۲	.۲	.۴	.۴	.۴	.۴	.۴
۴	۱۳۶۴	.۵	.۵	.۳	.۴	.۲	.۲	.۷	.۶	.۱	.۲	.۳	.۳	.۳	.۳	.۳
۵	۱۳۶۵	.۵	.۵	.۳	.۴	.۲	.۲	.۷	.۶	.۱	.۲	.۳	.۳	.۳	.۳	.۳
۶	۱۳۶۶	.۷	.۷	.۴	.۴	.۳	.۳	.۸	.۷	.۲	.۲	.۴	.۴	.۴	.۴	.۴
۷	۱۳۶۷	.۸	.۸	.۴	.۴	.۳	.۳	.۹	.۸	.۲	.۲	.۴	.۴	.۴	.۴	.۴
۸	۱۳۶۸	.۶	.۶	.۳	.۴	.۲	.۲	.۷	.۶	.۱	.۲	.۳	.۳	.۳	.۳	.۳
۹	۱۳۶۹	.۷	.۷	.۴	.۴	.۳	.۳	.۸	.۷	.۲	.۲	.۴	.۴	.۴	.۴	.۴
۱۰	۱۳۷۰	.۷	.۷	.۳	.۴	.۲	.۲	.۷	.۶	.۱	.۲	.۳	.۳	.۳	.۳	.۳
۱۱	۱۳۷۱	.۷	.۷	.۲	.۳	.۲	.۲	.۷	.۶	.۱	.۲	.۳	.۳	.۳	.۳	.۳
۱۲	۱۳۷۲	.۷	.۷	.۲	.۳	.۲	.۲	.۷	.۶	.۱	.۲	.۳	.۳	.۳	.۳	.۳
۱۳	۱۳۷۳	.۷	.۷	.۲	.۳	.۲	.۲	.۷	.۶	.۱	.۲	.۳	.۳	.۳	.۳	.۳
۱۴	۱۳۷۴	.۷	.۷	.۲	.۳	.۲	.۲	.۷	.۶	.۱	.۲	.۳	.۳	.۳	.۳	.۳
۱۵	۱۳۷۵	.۷	.۷	.۲	.۳	.۲	.۲	.۷	.۶	.۱	.۲	.۳	.۳	.۳	.۳	.۳
۱۶	۱۳۷۶	.۷	.۷	.۲	.۳	.۲	.۲	.۷	.۶	.۱	.۲	.۳	.۳	.۳	.۳	.۳
۱۷	۱۳۷۸	.۷	.۷	.۲	.۳	.۲	.۲	.۷	.۶	.۱	.۲	.۳	.۳	.۳	.۳	.۳
۱۸	۱۳۷۹	.۷	.۷	.۲	.۳	.۲	.۲	.۷	.۶	.۱	.۲	.۳	.۳	.۳	.۳	.۳
۱۹	۱۳۸۰	.۷	.۷	.۲	.۳	.۲	.۲	.۷	.۶	.۱	.۲	.۳	.۳	.۳	.۳	.۳
۲۰	۱۳۸۱	.۷	.۷	.۲	.۳	.۲	.۲	.۷	.۶	.۱	.۲	.۳	.۳	.۳	.۳	.۳
۲۱	۱۳۸۲	.۷	.۷	.۲	.۳	.۲	.۲	.۷	.۶	.۱	.۲	.۳	.۳	.۳	.۳	.۳
۲۲	۱۳۸۳	.۷	.۷	.۲	.۳	.۲	.۲	.۷	.۶	.۱	.۲	.۳	.۳	.۳	.۳	.۳
۲۳	۱۳۸۴	.۷	.۷	.۲	.۳	.۲	.۲	.۷	.۶	.۱	.۲	.۳	.۳	.۳	.۳	.۳
۲۴	۱۳۸۵	.۷	.۷	.۲	.۳	.۲	.۲	.۷	.۶	.۱	.۲	.۳	.۳	.۳	.۳	.۳
۲۵	۱۳۸۶	.۷	.۷	.۲	.۳	.۲	.۲	.۷	.۶	.۱	.۲	.۳	.۳	.۳	.۳	.۳
۲۶	۱۳۸۷	.۷	.۷	.۲	.۳	.۲	.۲	.۷	.۶	.۱	.۲	.۳	.۳	.۳	.۳	.۳
۲۷	۱۳۸۸	.۷	.۷	.۲	.۳	.۲	.۲	.۷	.۶	.۱	.۲	.۳	.۳	.۳	.۳	.۳
۲۸	۱۳۸۹	.۷	.۷	.۲	.۳	.۲	.۲	.۷	.۶	.۱	.۲	.۳	.۳	.۳	.۳	.۳
۲۹	۱۳۹۰	.۷	.۷	.۲	.۳	.۲	.۲	.۷	.۶	.۱	.۲	.۳	.۳	.۳	.۳	.۳
۳۰	۱۳۹۱	.۷	.۷	.۲	.۳	.۲	.۲	.۷	.۶	.۱	.۲	.۳	.۳	.۳	.۳	.۳
۳۱	۱۳۹۲	.۷	.۷	.۲	.۳	.۲	.۲	.۷	.۶	.۱	.۲	.۳	.۳	.۳	.۳	.۳
۳۲	۱۳۹۳	.۷	.۷	.۲	.۳	.۲	.۲	.۷	.۶	.۱	.۲	.۳	.۳	.۳	.۳	.۳
۳۳	۱۴۰۹	.۷	.۷	.۲	.۳	.۲	.۲	.۷	.۶	.۱	.۲	.۳	.۳	.۳	.۳	.۳
۳۴	۱۴۱۰	.۷	.۷	.۲	.۳	.۲	.۲	.۷	.۶	.۱	.۲	.۳	.۳	.۳	.۳	.۳
۳۵	۱۴۱۱	.۷	.۷	.۲	.۳	.۲	.۲	.۷	.۶	.۱	.۲	.۳	.۳	.۳	.۳	.۳
۳۶	۱۴۱۲	.۷	.۷	.۲	.۳	.۲	.۲	.۷	.۶	.۱	.۲	.۳	.۳	.۳	.۳	.۳
۳۷	۱۴۱۳	.۷	.۷	.۲	.۳	.۲	.۲	.۷	.۶	.۱	.۲	.۳	.۳	.۳	.۳	.۳
۳۸	۱۴۱۴	.۷	.۷	.۲	.۳	.۲	.۲	.۷	.۶	.۱	.۲	.۳	.۳	.۳	.۳	.۳
۳۹	۱۴۱۵	.۷	.۷	.۲	.۳	.۲	.۲	.۷	.۶	.۱	.۲	.۳	.۳	.۳	.۳	.۳
۴۰	۱۴۱۶	.۷	.۷	.۲	.۳	.۲	.۲	.۷	.۶	.۱	.۲	.۳	.۳	.۳	.۳	.۳
۴۱	۱۴۱۷	.۷	.۷	.۲	.۳	.۲	.۲	.۷	.۶	.۱	.۲	.۳	.۳	.۳	.۳	.۳
۴۲	۱۴۱۸	.۷	.۷	.۲	.۳	.۲	.۲	.۷	.۶	.۱	.۲	.۳	.۳	.۳	.۳	.۳
۴۳	۱۴۱۹	.۷	.۷	.۲	.۳	.۲	.۲	.۷	.۶	.۱	.۲	.۳	.۳	.۳	.۳	.۳
۴۴	۱۴۲۰	.۷	.۷	.۲	.۳	.۲	.۲	.۷	.۶	.۱	.۲	.۳	.۳	.۳	.۳	.۳
۴۵	۱۴۲۱	.۷	.۷	.۲	.۳	.۲	.۲	.۷	.۶	.۱	.۲	.۳	.۳	.۳	.۳	.۳
۴۶	۱۴۲۲	.۷	.۷	.۲	.۳	.۲	.۲	.۷	.۶	.۱	.۲	.۳	.۳	.۳	.۳	.۳
۴۷	۱۴۲۳	.۷	.۷	.۲	.۳	.۲	.۲	.۷	.۶	.۱	.۲	.۳	.۳	.۳	.۳	.۳
۴۸	۱۴۲۴	.۷	.۷	.۲	.۳	.۲	.۲	.۷	.۶	.۱	.۲	.۳	.۳	.۳	.۳	.۳
۴۹	۱۴۲۵	.۷	.۷	.۲	.۳	.۲	.۲	.۷	.۶	.۱	.۲	.۳	.۳	.۳	.۳	.۳
۵۰	۱۴۲۶	.۷	.۷	.۲	.۳	.۲	.۲	.۷	.۶	.۱	.۲	.۳	.۳	.۳	.۳	.۳
۵۱	۱۴۲۷	.۷	.۷	.۲	.۳	.۲	.۲	.۷	.۶	.۱	.۲	.۳	.۳	.۳	.۳	.۳
۵۲	۱۴۲۸	.۷	.۷	.۲	.۳	.۲	.۲	.۷	.۶	.۱	.۲	.۳	.۳	.۳	.۳	.۳
۵۳	۱۴۲۹	.۷	.۷	.۲	.۳	.۲	.۲	.۷	.۶	.۱	.۲	.۳	.۳	.۳	.۳	.۳
۵۴	۱۴۳۰	.۷	.۷	.۲	.۳	.۲	.۲	.۷	.۶	.۱	.۲	.۳	.۳	.۳	.۳	.۳
۵۵	۱۴۳۱	.۷	.۷	.۲	.۳	.۲	.۲	.۷	.۶	.۱	.۲	.۳	.۳	.۳	.۳	.۳
۵۶	۱۴۳۲	.۷	.۷	.۲	.۳	.۲	.۲	.۷	.۶	.۱	.۲	.۳	.۳	.۳	.۳	.۳
۵۷	۱۴۳۳	.۷	.۷	.۲	.۳	.۲	.۲	.۷	.۶	.۱	.۲	.۳	.۳	.۳	.۳	.۳
۵۸	۱۴۳۴	.۷	.۷	.۲	.۳	.۲	.۲	.۷	.۶	.۱	.۲	.۳	.۳	.۳	.۳	.۳
۵۹	۱۴۳۵	.۷	.۷	.۲	.۳	.۲	.۲	.۷	.۶	.۱	.۲	.۳	.۳	.۳	.۳	.۳
۶۰	۱۴۳۶	.۷	.۷	.۲	.۳	.۲	.۲	.۷	.۶	.۱	.۲	.۳	.۳	.۳	.۳	.۳
۶۱	۱۴۳۷	.۷	.۷	.۲	.۳	.۲	.۲	.۷	.۶	.۱	.۲	.۳	.۳	.۳	.۳	.۳
۶۲	۱۴۳۸	.۷	.۷	.۲	.۳	.۲	.۲	.۷	.۶	.۱	.۲	.۳	.۳	.۳	.۳	.۳
۶۳	۱۴۳۹	.۷	.۷	.۲	.۳	.۲	.۲	.۷	.۶	.۱	.۲	.۳	.۳	.۳	.۳	.۳
۶۴	۱۴۴۰	.۷	.۷	.۲	.۳	.۲	.۲	.۷	.۶	.۱	.۲	.۳	.۳	.۳	.۳	.۳
۶۵	۱۴۴۱	.۷	.۷	.۲	.۳	.۲	.۲	.۷	.۶	.۱	.۲	.۳	.۳	.۳	.۳	.۳
۶۶	۱۴۴۲	.۷	.۷	.۲	.۳	.۲	.۲	.۷	.۶	.۱	.۲	.۳	.۳	.۳	.۳	.۳
۶۷	۱۴۴۳	.۷	.۷	.۲	.۳	.۲	.۲	.۷	.۶	.۱	.۲	.۳	.۳	.۳	.۳	.۳
۶۸	۱۴۴۴	.۷	.۷	.۲	.۳	.۲	.۲	.۷	.۶	.۱	.۲	.۳	.۳	.۳	.۳	.۳
۶۹	۱۴۴۵	.۷	.۷	.۲	.۳	.۲	.۲	.۷	.۶	.۱	.۲	.۳	.۳	.۳	.۳	.۳
۷۰	۱۴۴۶	.۷	.۷	.۲	.۳	.۲	.۲	.۷	.۶	.۱	.۲	.۳	.۳	.۳	.۳	.۳
۷۱	۱۴۴۷	.۷	.۷	.۲	.۳	.۲	.۲	.۷	.۶	.۱	.۲	.۳	.۳	.۳	.۳	.۳
۷۲	۱۴۴۸	.۷	.۷	.۲	.۳	.۲	.۲	.۷	.۶	.۱	.۲	.۳	.۳	.۳	.۳	.۳
۷۳	۱۴۴۹	.۷	.۷	.۲	.۳	.۲	.۲	.۷	.۶	.۱	.۲	.۳	.۳	.۳	.۳	.۳
۷۴	۱۴۵۰	.۷	.۷	.۲	.۳	.۲	.۲	.۷	.۶	.۱	.۲	.۳	.۳	.۳	.۳	.۳
۷۵	۱۴۵۱	.۷	.۷	.۲	.۳	.۲	.۲	.۷	.۶	.۱	.۲	.۳	.۳	.۳	.۳	.۳
۷۶	۱۴۵۲	.۷	.۷	.۲	.۳	.۲	.۲	.۷	.۶	.۱	.۲	.۳	.۳	.۳	.۳	.۳
۷۷	۱۴۵۳	.۷	.۷	.۲	.۳	.۲	.۲	.۷	.۶	.۱	.۲	.۳	.۳	.۳	.۳	.۳
۷۸	۱۴۵۴	.۷	.۷	.۲	.۳	.۲	.۲	.۷	.۶	.۱	.۲	.۳	.۳	.۳	.۳	.۳
۷۹	۱۴۵۵	.۷	.۷	.۲	.۳	.۲	.۲	.۷	.۶	.۱	.۲	.۳	.۳	.۳	.۳	.۳
۸۰	۱۴۵۶	.۷	.۷	.۲	.۳	.۲	.۲	.۷	.۶	.۱	.۲	.۳	.۳	.۳	.	

جدول ۲- مشخصات دبی ایستگاه کوپال نمره ۳

Table 2. The features of water flow rate of Koopal No3 hydrometric stations

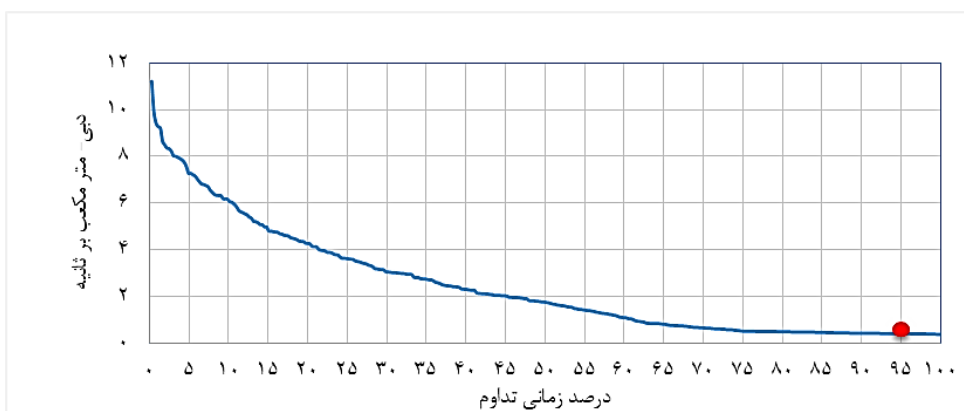
ردیف	نوع دبی	تعداد روز از سال	دبی (m³/s)
۱	دبی مشخصه مکرر (DCM)	۱۰	$\geq 8/۲۳$
۲	دبی نرمال در حالت پرآبی	۹۱	$\geq ۰/۳/۶۲$
۳	دبی مشخصه متوسط یا دبی مشخصه شش ماهه (DC6)	۱	$\geq ۰/۱/۷۶$
۴	دبی میانه	۱۸۳ و ۱۸۲	$\geq ۱/۷۵$
۵	دبی نرمال در حالت کم آبی	۲۷۴	$\geq ۰/۵۱$
۶	دبی مشخصه حداقل یا DCE	۳۵۵	$\geq ۰/۳۹$
۷	کمترین دبی ثبت شده		$\geq ۰/۲۶$



شکل ۵- منحنی تداوم جریان رودخانه کوپال بر اساس آمار ایستگاه آب‌سنگی کوپال نمره ۳
Figure 5. Flow duration curve of Koopal River based on the hydrometric station of the Koopal No 3

بیشتر موارد به عنوان حداقل جریان زیست‌محیطی در نظر گرفته می‌شود که این مقدار برای رودخانه کوپال در طول دوره آماری مورد مطالعه $۰/۴۲$ مترمکعب بر ثانیه محاسبه شده است و در 100 درصد موقع سال $۰/۳۶$ متر مکعب بر ثانیه جریان در رودخانه کوپال وجود دارد و جاری است که معادل کمترین دبی ثبت شده در رودخانه کوپال است (شکل ۶).

منحنی درصد زمانی تداوم جریان:
در این روش داده‌های جریان متوسط ماهانه رودخانه را به ترتیب زیاد به کم مرتب کرده و با شروع از عدد ۱ دبی‌ها را رتبه‌بندی می‌کنیم. سپس با تقسیم رتبه هر دبی به بالاترین رتبه و ضرب عدد حاصل در 100 ، درصد زمانی تداوم مربوط به آن دبی را به دست می‌آوریم در این روش Q90 معرف جریانی است که در 90 درصد موقع سال جریان دارد و در



شکل ۶- منحنی درصد زمانی تداوم جریان رودخانه کوپال بر اساس آمار ایستگاه آب‌سنگی کوپال نمره ۳
Figure 6. Time percentage of flow duration curve of Koopal River based on the hydrometric station of the Koopal No3

برآورد رواناب کانون ریزگرد جنوب شرق اهواز با روش SCS (رواناب-بارندگی)

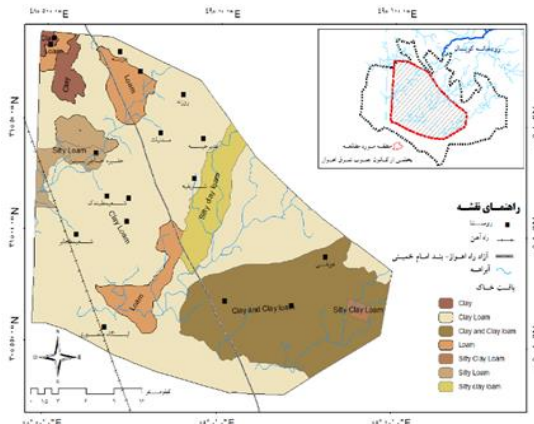
در این مرحله محاسبات مربوط به انتفاع رواناب در عرصه کانون ریزگرد جنوب شرق اهواز با مساحتی محدود ($۶۵۲/۲۹$ کیلومتر مربع) و با استفاده از روش SCS بر اساس بافت

برآورد رواناب ایستگاه کوپال نمره ۳

برآورد رواناب حاصل از بارندگی در ایستگاه کوپال نمره ۳ بین سال‌های ۱۳۶۱ تا ۱۳۹۱ بر اساس آمار دبی اخذ شده از سازمان آب منطقه‌ای خوزستان برای ماه‌های مختلف سال به روش تجربی محاسبه و در جدول ۴ نشان داده است.

$$CN_{composite} = \frac{\sum A_i \ CN_i}{\sum A_i} \quad (3)$$

که در آن $CN_{composite}$ برابر با CN مورد استفاده برای محاسبه رواناب (مقدار واقعی با توجه به رطوبت پیشین حوزه تعیین می‌شود) است. برابر شاخصی از زیر واحدهای نوع خاک و کاربری اراضی است که CN یکسانی داشته‌اند، i برابر CN_i زیر واحدهای i و A_i مساحت کل محدوده مورد مطالعه است. جدول ۳ مقادیر CN ، مساحت هریک از واحدها و تلفات اولیه را نشان می‌دهد.

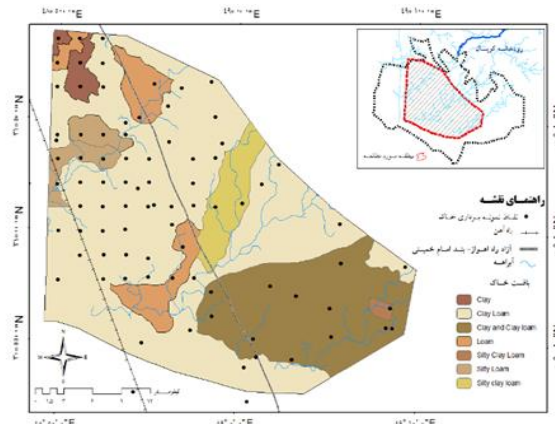


شکل ۸- نقشه بافت خاک
Figure 8. Map of soil texture

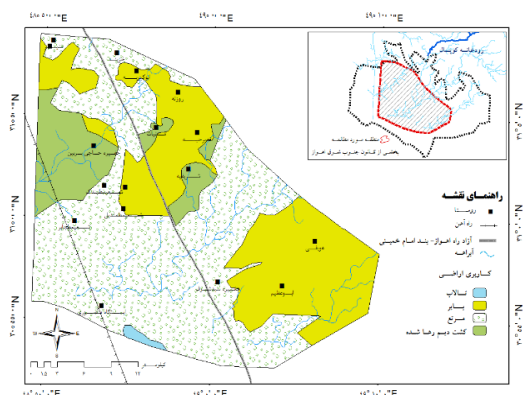
خاک (شکل ۷ و ۸)، گروههای هیدرولوژیکی خاک (شکل ۹) و کاربری اراضی (شکل ۱۰) برآورده گردید. عمدۀ کاربری محدوده مورد نظر شامل مراتع ضعیف و دیمزارهای رها شده است که با توجه به کمبود پوشش گیاهی و نوع خاک می‌تواند پتانسیل تولید رواناب بالایی داشته باشد.

تهییه نقشه CN

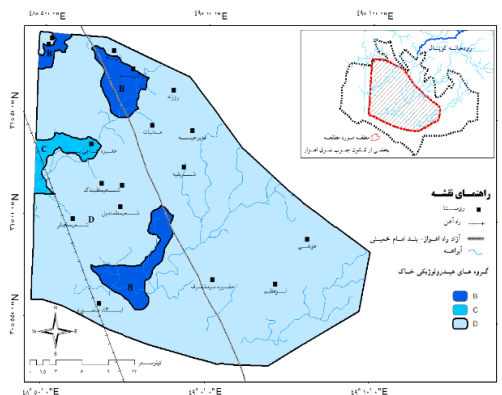
با استفاده از دو نقشه رستری گروههای هیدرولوژیکی خاک (شکل ۹) و کاربری اراضی (شکل ۱۰) و داده‌های جداول (شکل ۱۳) و با توجه به نوع خاک نقشه CN وزنی یا مرکب (شکل ۱۱) با استفاده از رابطه (۳) برای کل حوزه ساخته شد.



شکل ۷- نقشه نقاط نمونه‌برداری از خاک
Figure 7. Map of sampling point of soil



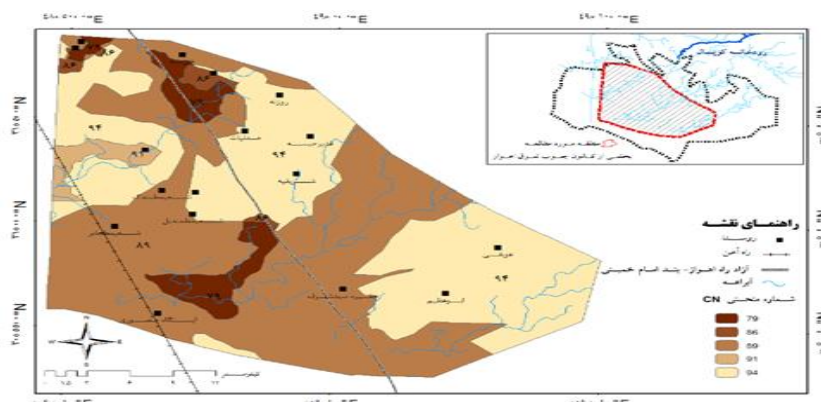
شکل ۱۰- نقشه کاربری اراضی محدوده
Figure 10. Map of land use



شکل ۹- نقشه گروههای هیدرولوژیکی خاک
Figure 9. Map of soil hydrological groups

جدول ۳- مقادیر CN ، ارتفاع نگهداشت آب و تلفات اولیه

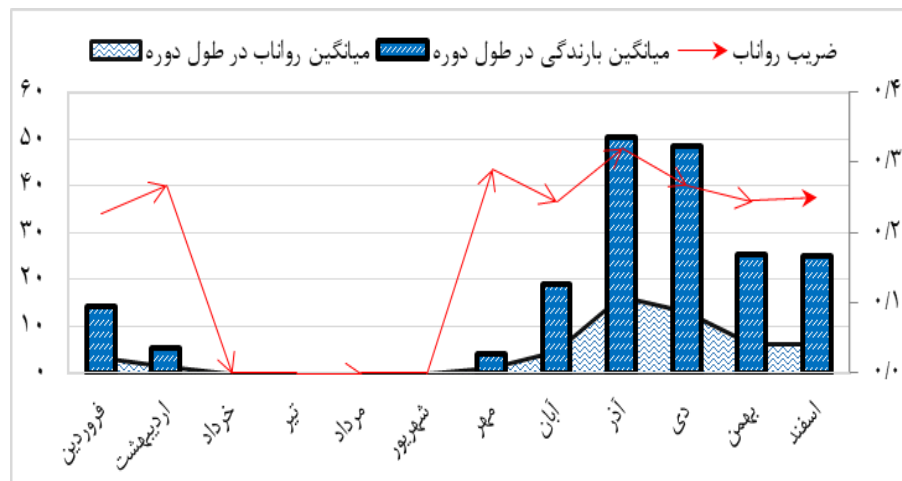
ردیف	CN	مساحت هر واحد (km^2)	$A \times CN_i$	$CN_{composite}$	ارتفاع نگهداشت آب (S)، mm	تلفات اولیه ($mm \cdot 10^{-2}$)
۱	۷۹	۲۸/۷۲	۳۰۵/۷۷	۹۰/۴۸	۲۶/۷۱	۵/۳۴
۲	۸۶	۶/۶۴	۵۷۰/۹۱			
۳	۸۹	۳۲۲/۹۹	۲۸۸۷۵/۰۹			
۴	۹۱	۱۳/۸	۱۲۰۸/۲۵			
۵	۹۴	۲۶۹/۶۶	۵۹۰۲۱/۲۱			
	۶۵۲/۲۹	۵۹۰۲۱/۲۴				



شکل ۱۱- نقشه شماره منحنی CN
Figure 11. Map of the curve number

ارتفاع و حجم رواناب را در آذر ماه تجربه کرده است و این در حالی است که در فصل زمستان از ارتفاع و حجم رواناب بیشتری برخوردار بوده و به طور میانگین دارای ارتفاع بارندگی و رواناب به ترتیب $16/05$ و $4/36$ میلی متر بوده است و این در حالی است که آورد سالانه (حجم رواناب) آن برابر $83/0$ میلیون متر مکعب می باشد. از طرفی جدول ۴ نشان می دهد محدوده مورد مطالعه در کانون جنوب شرق اهواز با میزان بارندگی معادل بارندگی ایستگاه کوپال نمره $3/92/6$ (میلی متر) و ضریب رواناب 18 درصد بطور میانگین، سالانه روانابی به ارتفاع $4/36$ میلی متر و حجم $34/14$ میلیون متر مکعب را تجربه کرده است. با توجه به اینکه کانون ریزگرد جنوب شرق اهواز در ناحیه دشتی آبریز شادگان قرار دارد از این رو ضریب رواناب محاسبه شده را برای محاسبات ارتفاع رواناب در این ناحیه نیز می توان بکار گرفت.

محاسبه ارتفاع رواناب
برای محاسبه ارتفاع رواناب، با استفاده از داده های بارندگی روزانه ایستگاه سینوپتیک کوپال نمره ۳ بین سال های $1361-1391$ در ابتدا مقدار ارتفاع نگهداشت آب (S) عرصه مورد مطالعه تعیین شد و با توجه به اینکه معمولاً در بارندگی های کمتر از $2S/0$ رواناب تشکیل نمی شود از این رو ابتدا این مقدار که از آن به نام تلفات اولیه یاد می شود، محاسبه (جدول ۳) و سپس کلیه وقایع بارندگی روزانه که بیشتر از این مقدار بود از داده های ایستگاه برای کل دوره مورد مطالعه مشخص گردید. سپس برای هر واقعه ارتفاع رواناب تعیین شد. سپس از جمع آنها در طی هر ماه ارتفاع رواناب ماهانه محاسبه گردید و در ادامه با استفاده از نسبت بین ارتفاع رواناب و میزان بارندگی ضریب رواناب تعیین گردید (جدول ۴ و شکل ۱۲). همانطور که از جدول ۴ استنباط می شود ایستگاه کوپال نمره ۳ با مجموع بارش سالانه برابر $192/6$ میلی متر بیشترین مقادیر



جدول ۴- محاسبه ارتفاع رواناب محدوده کانون جنوب شرق اهواز با استفاده از روش SCS و ایستگاه کوپال (واحد: میلی‌متر) بین سال‌های ۱۳۶۱-۱۳۶۲ تا ۱۳۹۱-۱۳۹۲

Table 4. Runoff calculation of the southeast dust source of Ahvaz using SCS method during the years of 1982-2013
(unit:mmilimeter)

فصل	ماه	میانگین بارندگی (mm)	محدد کانون جنوب شرق اهواز	ضریب رواناب (mm)	ارتفاع رواناب (mm)	ضریب رواناب (mm)	حریم رواناب (m³/s)	حجم رواناب (MCM)	ارتفاع رواناب (mm)
فروردین		۱۴/۳۹	.۰/۲۳	۳/۲۷	.۰/۲۳	۰/۲۳	۲/۷۵	۷/۲۷	۴/۷۴
اردیبهشت		۵/۴۵	.۰/۲۷	۱/۴۶	.۰/۶۷	۰/۶۷	۲/۱۲	۵/۶۸	۳/۶۵
خرداد		۰	۰	۰	۰	۰	۱/۱	۲/۹۴	۱/۸۹
جمع		۱۹/۸۴	.۰/۵	۴/۷۳	۱	۰/۵	۵/۹۷	۱۵/۹۹	۱۰/۲۸
میانگین		۶/۶۱	.۰/۱۷	۱/۵۸	.۰/۳۳	۰/۳۳	۱/۹۹	۵/۳۳	۳/۴۳
تیر		۴/۱۶	۰	۱/۲۱	.۰/۵۹	۰	۰	۱/۵۷	۱/۰۱
مرداد		۱۸/۹۶	.۰/۲۴	۴/۶۳	.۰/۴۹	۰	۰	۱/۳۲	۰/۸۵
شهریور		۵۰/۴۵	.۰/۳۲	۱۶/۱۶	.۰/۴۵	۰	۰	۱/۱۹	۰/۷۷
تابستان		۷۳/۵۷	.۰/۸۵	۲۲	.۰/۲	۰	۰	۱/۵۳	۲/۶۳
پاییز		۲۴/۴۵	.۰/۳	۷/۳	.۰/۲	۰	۰	۹/۲	۰/۹
دی		۴۸/۷۳	.۰/۲۷	۱۳/۱۲	.۰/۲۱	۰	۰	۵/۸	۱۰/۰۹
بهمن		۲۸/۰۴	.۰/۲۴	۶/۲۵	.۰/۲۷	۰	۰	۱۰/۰۵	۶/۹۸
اسفند		۲۴/۹۶	.۰/۲۵	۶/۲۴	.۰/۲۹	۰	۰	۸/۸۲	۵/۶۷
زمستان		۲۳/۹۹	.۰/۷۶	۲۵/۶۱	.۰/۲۹	۰	۰	۳/۲۹	۲۲/۷۴
سالانه		۱۶/۰۵	.۰/۱۲	۷/۳	.۰/۴	۰	۰	۴/۴	۵/۶۷
میانگین		۱۹/۲۶	.۰/۱	۲/۱	۳۱	۰	۰	۸/۳	۴/۴۵
جمع		۱۶/۰۵	.۰/۱۸	۴/۳۶	.۰/۲	۰	۰	۲/۵۸	۱۱/۴۴
میانگین		۵۰/۴۵	.۰/۳۲	۱۶/۱۶	.۰/۶۷	۰	۰	۶/۶۴	۱۷/۷۹
ماکریم		۵۰/۴۵	.۰/۳۲	۱۶/۱۶	.۰/۲۳	۰	۰	۱/۱۹	۱۷/۷۹
منبهم		۱۶/۰۵	۰	۶/۲۴	.۰/۲۹	۰	۰	۸/۸۲	۸/۸۲
انحراف معیار		۱۸/۳۸	.۰/۱۲	۷/۳	.۰/۴	۰	۰	۱/۱۸	۱/۰۹

ایستگاه کوپال نمره ۳ در طول دوره و مقادیر متناظر باران نمودارسازی شد (شکل ۱۳ و ۱۴) و روابط (۴) و (۵) بدست آمد.

$$(4) \text{ ایستگاه } y = ۰/۹۶ + ۰/۳۰۴۷ R^2 = ۰/۹۶$$

کوپال نمره ۳

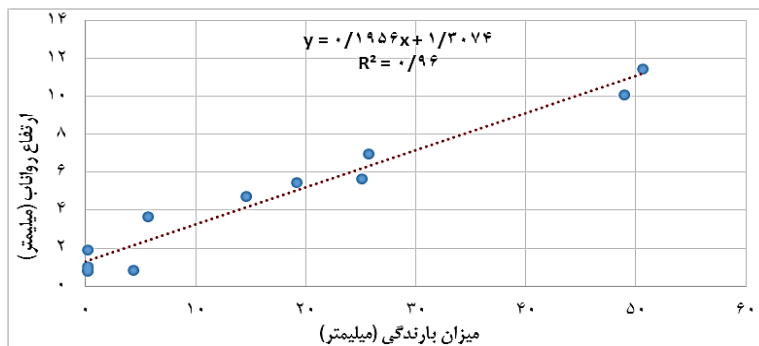
$$(5) \text{ محدوده } y = ۰/۹۸ - ۰/۲۹۲۳ R^2 = ۰/۹۸$$

کانون جنوب شرق اهواز

در این رابطه: $y = \text{مقدار باران (میلی‌متر)}$, $R = \text{ضریب همبستگی}$ است که در سطح یک درصد (با اطمینان ۹۹ درصد) معنی دارد.

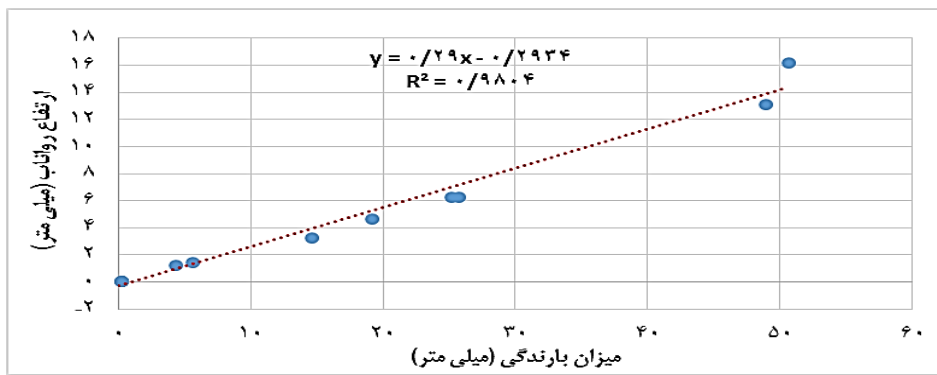
رابطه ریاضی بارندگی-رواناب به طور معمول با استفاده از داده‌های بارش-رواناب در

حوزه یا حوزه‌هایی که واجد ایستگاه اندازه‌گیری دبی و باران هستند مقادیر مختلف دبی در طول سال‌های اندازه‌گیری در مقابل مقادیر سال‌های متناظر باران نمودارسازی می‌شوند سپس بر اساس رابطه به دست آمده از برآش منحنی مریبوطه، مقادیر رواناب را برای مناطق فاقد ایستگاه هیدرومتری محاسبه می‌کنند. در این مطالعه برای بررسی و ارایه رابطه بارندگی-رواناب در محدوده کانون جنوب شرق اهواز و حوزه ایستگاه کوپال نمره ۳ مقادیر رواناب اندازه‌گیری شده در محدوده کانون جنوب شرق اهواز و



شکل ۱۳- ارتباط بین بارندگی و رواناب در ایستگاه کوپال نمره ۳

Figure 13. Relation between the value of precipitation and runoff in hydrometric station of koopal No 3



شکل ۱۴- رابطه بین بارندگی و رواناب در محدوده کانون جنوب‌شرق اهواز

Figure 14. Relation between the value of precipitation and runoff in southeast dust source area of Ahvaz

مقایسه میزان رواناب ایستگاه کوپال نمره ۳ و کانون جنوب‌شرق اهواز

$$MBE = \frac{1}{n} \sum_{i=1}^n (E_{si} - E_{oi}) \quad (6)$$

$$RSME = \sqrt{\frac{1}{n} \sum_{i=1}^n (E_{si} - E_{oi})^2} \quad (7)$$

$$GSD = \frac{RSME}{\bar{Z}(X)} \quad (8)$$

که در آن، E_{Si} : مقادیر کانون جنوب‌شرق، E_{Oi} : مقادیر ایستگاه کوپال نمره ۳، n : اندیس مربوط به ماه و m : تعداد ماه و Z : میانگین مقادیر کانون جنوب‌شرق است.

برای مقایسه میزان رواناب کانون جنوب‌شرق اهواز و ایستگاه کوپال نمره ۳ در ابتدا آزمون نرمالیودن داده‌ها به روش آزمون ناپارامتری کولموگراف اسمیرنوف انجام شد که نتایج نشان داد کلیه مقادیر از نظر آماری در سطح معنی‌داری یک درصد دارای توزیع نرمال می‌باشند (جدول ۵). در ادامه مقادیر ضریب همبستگی بین داده‌های کانون جنوب‌شرق اهواز و ایستگاه کوپال نمره ۳ (R) محاسبه شد و نتایج نشان داد کلیه مقادیر به جز ضریب رواناب ایستگاه کوپال نمره ۳ با مقادیر ارتفاع رواناب در سطح معنی‌داری یک درصد و پنج درصد از همبستگی بالایی برخوردارند (جدول ۶) و سپس مقادیر میانگین خطای اریب (MBE)، جذر میانگین مربعات خطأ (RMSE) و انحراف استاندارد عمومی (GSD) به ترتیب بر اساس روابط (۶)، (۷) و (۸) محاسبه شدند (جدول ۷).

جدول ۵- نتایج آزمون کولموگراف- اسمیرنوف

Table 5. Result of Kolmogorov-Smirnov test

پارامتر	Sig.**	ضریب رواناب (۱)	ضریب رواناب (۲)	ارتفاع رواناب (۱)	ارتفاع رواناب (۲)	ارتفاع رواناب (۲)
میانگین		۰/۲۱	۰/۱۸	۴/۴۵	۴/۳۶	۰/۳۶
		۰/۷۹	۰/۱	۰/۸۶	۰/۶۷	

**معنی‌داری در سطح ۱ درصد، (۱): ایستگاه کوپال نمره ۳، (۲): محدوده کانون جنوب‌شرق اهواز

که از نظر آماری این مقادیر با یکدیگر تفاوت معنی‌داری ندارند و این تفاوت مقدار به جهت برداشت آب در مناطق بالادست کانون جنوب‌شرق از طریق احداث سدها، بندهای خاکی، آب‌بندها و پمپاژ آب بخصوص در رودخانه کوپال جهت مصارف کشاوری و عملیات استخراج نفت است (شکل ۱) که با اجرای یک برنامه مدیریتی بهتر و مناسب‌تر در برداشت و مصارف بیش از حد آب در مناطق بالادست، با انتقال آب به نواحی کانون جنوب‌شرق و مرطوب‌سازی و احیای آن بخصوص در فصول پاییز و زمستان که عمدۀ مشکلات حاصل از طوفان‌های گرد و غبار در آنها صورت می‌گیرد کمک شایان توجهی نمود.

ضریب همبستگی R نشان‌دهنده میزان ارتباط مقادیر کانون جنوب‌شرق اهواز با ایستگاه کوپال نمره ۳ که هرچه مقدار آن به عدد یک نزدیکتر باشد، ارتباط مقادیر مورد بررسی کمتر خواهد بود. پارامتر ارزیابی MBE بیانگر مقادیر بیشتر ایستگاه کوپال نمره ۳ از مقدار کانون جنوب‌شرق اهواز است. زمانی که مقادیر MBE، RMSE و GSD برابر صفر هستند، مشخص می‌شود که مقادیر کانون جنوب‌شرق اهواز با مقادیر ایستگاه کوپال نمره ۳ با هم برابرند و هرچه این مقادیر به صفر نزدیکتر باشند نشانه انحراف کمتر دو نوع مقدار محاسبه شده از یکدیگرند. نتایج نشان داد مقادیر ایستگاه کوپال نمره ۳ بیشتر از کانون جنوب‌شرق اهواز می‌باشد. که نتایج حاصل از مقادیر GSD (جدول ۷) و آزمون آماری (جدول ۸) نشان داد

جدول ۶- ماتریس همبستگی بین مقادیر ارتفاع رواناب و ضریب رواناب ایستگاه کوپال نمره ۳ و کانون جنوب شرق اهواز
Table 6. Correlation matrix of runoff and runoff coefficient in koopal No3 station and southeast dust source of Ahvaz

ضریب رواناب (۱)	ارتفاع رواناب (۱)	ارتفاع رواناب (۲)	ضریب رواناب (۲)	ارتفاع رواناب (۲)
ارتفاع رواناب (۱)	۱	.۰/۹۷	.۰/۷	.۰/۳۷
ارتفاع رواناب (۲)	.۰/۹۷	۱	.۰/۶۶	.۰/۲۳
ضریب رواناب (۲)	.۰/۷	.۰/۶۶	۱	.۰/۷۵
ضریب رواناب (۱)	.۰/۳۷	.۰/۳۳	.۰/۷۵	۱

((۱): ایستگاه کوپال نمره ۳، (۲): کانون جنوب شرق اهواز
**: معنی داری در سطح یک درصد، *: معنی داری در سطح پنج درصد

جدول ۷- پارامترهای مقایسه مقادیر ماهانه ایستگاه کوپال نمره ۳ و کانون جنوب شرق اهواز
Table 7. Comparison of MBE, RSME and GSD in koopal No3 station and southeast dust source of Ahvaz

GSD	RSME	MBE	پارامتر
.۰/۷۱	.۰/۱۳	-.۰/۰۳	ضریب رواناب
.۰/۴۵	.۱/۹۶	-.۰/۰۸	ارتفاع رواناب

جدول ۸- نتایج آزمون t Tes 2-Sample t در ایستگاه کوپال نمره ۳ (۱) و کانون جنوب شرق اهواز (۲)
Table 8. Result of 2-Sample t Test in koopal No3 station and southeast dust source of Ahvaz

اختلاف معنی دار	(significance level)	سطح معنی داری (P value)	(۱) و (۲)
ندارد	۱ درصد	.۰/۹۶۵	ارتفاع رواناب
ندارد	۱ درصد	.۰/۶۹۸	ضریب رواناب

جنوب شرق اهواز می توان جهت انجام عملیات مرطوب سازی و احیای پوشش گیاهی مرتضی کانون جنوب شرق اهواز اقدام نمود.

۳- از نظر آماری بین متوسط ارتفاع رواناب تولیدی رودخانه کوپال (۰/۴۵) و کانون جنوب شرق اهواز (۰/۳۶) تفاوت معنی داری وجود ندارد و از طرفی کانون جنوب شرق اهواز در پایاب این رودخانه تحت تاثیر رواناب تولیدی آن قرار دارد و روند کاهشی جریان سطحی رودخانه کوپال بعد از سال ۱۳۸۳ و کاهش میزان بارندگی در نتیجه مصارف بدون مدیریت و خشکسالی های اخیر یکی از دلایل اصلی از بین رفت پوشش گیاهی محدوده کانون جنوب شرق اهواز و تبدیل شدن آن به یکی از کانون های تولید گرد و غبار می باشد. نتایج این بخش، با تحقیقات ازدی و همکاران (۶) و ناشناس (۳) مبنی بر تغییرات اقلیمی، مدیریت (کنترل و مهار رودخانه ها) و خشکسالی سال های اخیر که یکی از دلایل از بین رفت پوشش گیاهی محدوده کانون های گرد و غبار خوزستان است، همسو می باشد.

۴- نتایج نشان داد که همراه با استفاده از تکنیک های GIS و RS روش SCS قادر به تخمین مناسب توزیع مکانی رواناب در کانون جنوب شرق اهواز می باشد لذا از این روش می توان جهت برآورد پتانسیل رواناب در هنگام کمبود داده ها و عدم وجود ایستگاه هیدرومتری استفاده نمود. تطابق نتایج این بخش با تحقیقات ثروتی و همکاران (۱۷)، ماریجانی و رئوفی (۱۶) و جاسروتیا و سینگ (۱۱) مبنی بر استفاده از سامانه اطلاعات غرافی ای و روش SCS برای شناسایی محل های مناسب استحصال رواناب در مناطق نیمه خشک و مدل سازی فرسایش خاک با ضریب اطمینان بالا کاربردی است.

در این تحقیق بررسی جریان سطحی و رواناب رودخانه کوپال و استفاده از تکنیک های GIS و کارایی روش SCS در برآورد پتانسیل رواناب سطحی در کانون جنوب شرق اهواز با هدف احیای پوشش گیاهی و مرطوب سازی آن مورد بررسی قرار گرفت. محدوده کانون جنوب شرق اهواز با شبیه سیار کند، نفوذ پذیری کم و فقر شدید پوشش گیاهی دارای پتانسیل تولید رواناب و نگهداری مقادیر زیاد آب می باشد. بطور کلی نتایج نشان داد که:

۱- محدوده مورد مطالعه از کانون جنوب شرق اهواز با ضریب رواناب ۱/۸ درصد، ارتفاع نگهداری آب (۵) برابر ۲۶/۷۱ میلی متر و شماره منحنی ۹۰/۴۸ به طور متوسط دارای پتانسیل تولید رواناب به ارتفاع ۴/۳۶ میلی متر بوده و سالانه روانابی به حجم ۳۴/۱۴ میلیون مترمکعب تولید می کند که ۳۱ میلیون مترمکعب آن در فصول پاییز و زمستان اتفاق می افتد.

۲- بررسی جریان سطحی رودخانه کوپال نشان داد که با توجه به حجم رواناب سالانه این رودخانه برابر با ۸۳ میلیون مترمکعب (با میانگین دبی سالانه ۲,۵۸ مترمکعب بر ثانیه) طی سال های ۶۱-۹۱ و ۷۸/۵۲۶ میلیون مترمکعب (با میانگین دبی سالانه ۲,۴۹ مترمکعب بر ثانیه) طی سال های ۶۱-۹۳ و از طرفی پتانسیل کانون جنوب شرق اهواز در تولید رواناب و نگهداری آب با توجه به شرایط پوشش گیاهی و جنس خاک و نفوذ پذیری آن بخصوص در فصول پاییز و زمستان که مصادف با افزایش فراوانی باد جنوب شرقی و بالتابع آن افزایش طوفان های گرد و غبار از سمت جنوب شرق به سمت شهر اهواز می باشد با مدیریت صحیح مصرف و برداشت آب توسط سدها (سد پارسل و شوه حمید)، بند های خاکی و آب بند ها در بالادست رودخانه کوپال و کانون

منابع

1. Alizadeh, A. 1995. Principles of Hydrology Engineering. First edition. Tehran University Publications, 334 pp (In Persian).
2. Amutha, R. and P. Porchelvan. 2009. Estimation of Surface Runoff in Malattar Sub-watershed Using SCS-CN Method. Photonirvachak, Journal Indian Soc, Remote Sense, 37: 291-304.
3. Anonymous. 2017. Hazards in the dust of the West and Southwest of the country. Causes, origins, focus and prediction of the future, Islamic Consultative Research Center, 53 pp.
4. Ansari, H. and k. Davari. 2007. Dry period zoning using the standardized rainfall index in GIS environment "Case Study: Khorasan Province. Journal of Geographical Studies, 60(39): 97-108 (In Persian).
5. Azamirad, M., B. Ghahreman and K. Esmaili. 2018. Investigation Flooding Potential in the Kashafrud watershed, Mashhad the Method SCS and GIS. Journal of Watershed Management Research (jwmr); 9(17): 26-38 (In Persian).
6. Azhdari, A., P. Eidarian, M. Joudaki, J. Darvishi Khatoni and R. Shahbazi. 2015. Recognized Dust Sources in Khuzestan Province. Ministry of Industry, Mine and Trade Geological Survey of Iran South West Regional Center, 73 pp (In Persian).
7. Chow, V.T., D.R. Maidment and L.W. Mays. 1988. Applied Hydrology. McGraw- Hill International Edition, 596 pp.
8. De Winnaar, G., G.P.W. Jewitt and M. Horan. 2007. A GIS-based approach for identifying potential runoff harvesting sites in the Thukela River basin, South Africa. Journal Physics and Chemistry of the Earth. 32: 1058-1067.
9. Hosseinzadeh, M. 2012. Estimating runoff height and runoff runoff in the occurrence of water drainage in Kojour area, Noshahr - North Alborz), Environmental Erosion Researches, 7: 15-1 (In Persian).
10. Jain, M. K., U.C. Kothiyari and K.G. Ranga Raju. 2004. A GIS based distributed rainfall-runoff model. Journal Hydrology, 299: 107-135.
11. Jasrotia, A.S. and R. Singh. 2006. Modeling runoff and soil erosion in a catchment area, using the GIS, in the Himalayan region, India. Journal of Environ Geology, 51: 29-37.
12. Lajevardi, M., Sh. Khalidi and Sh. Sattari. 2013. Capacity zoning of the flood plain in the catchment area of the Mardagh Chay Basin (Azerbaijan). Journal Geography and Planning, 17(44): 255-273 (In Persian).
13. Mahdavi, M. 2000. Applied Hydrology, Vol. 2, Tehran University Publications, 432 pp (In Persian).
14. Marijani, Z. and S. Marofi. 2005. Investigation of runoff caused by maximum 24-hour rainfall in Ghareh-Chay basin using SCS method. Journal Agricultural Research, 5(3): 71-83 (In Persian).
15. Porhemat, J. and R. Kazemi. 2017. Regional Modeling and Evaluation of Runof Coefficient in Karkheh Basin, Journal of Watershed Management Research, 8(15): 82-91 (In Persian).
16. Raisian, R. 1997. Investigating the effect of rainfall intensity, gradient, soil texture and vegetation on the amount of penetration and runoff in some watersheds of Chaharmahal and Bakhtiari province. MSc thesis, Faculty of Agriculture, Isfahan University of Technology, 129 pp (In Persian).
17. Servati, M.R., A. Rostami and F. Khodadadi. 2011. Flood feasibility study in Laylan Chai watershed (Maragheh) by CN method. Quarterly Geographic Survey of Territory, 32: 67-81 (In Persian).
18. Souris Nejad, A. 2002. Estimation of Runoff Volume of the Keshkan River Basin Using GIS. Journal Geographical Studies, 34: 57-80.
19. Tekeli, T., S. AKGÜL, O. Dengiz and T. Akuzum. 2007. Estimation of flood discharge for small watershed using SCS curve number and geographic Information system. International Congress on River Basin Management, 527-538.
20. Water and Soil Research Institute. 2015. Comprehensive studies of dust field production in the country in order to prioritize the source areas of walnut dust production (Khuzestan section), 2 (In Persian).

Assessment of Koopal River Flow and the Runoff Potential Estimation of Southeast Dust Source of Ahwaz

Sakineh Lotfi Nasab Asl¹, Mohammad Khosroshahi², Azadeh Gohardoost³, Farhad Khaksarian³ and Hamidreza Abbasi⁴

1- Assistant Professor, Desert Research Department, Forests and Rangelands Research Institute, Agricultural Research, Education and Extension Organization, Ministry of Jahade Agriculture, Tehran, Iran
(Corresponding author: s.lotfinasab@rifr.ac.ir)

2, 3 and 4- Associate Professor, Researcher and Instructor, Desert Research Department, Forests and Rangelands Research Institute, Agricultural Research, Education and Extension Organization, Ministry of Jahade Agriculture, Tehran, Iran

Received: October 15, 2018

Accepted: August 2, 2020

Abstract

Iran's location on the arid world belt, the occurrence of climate change, global warming and the increased in human interference have resulted in dust storms phenomenon in the western and southwestern parts of the country, especially in Khuzestan province. The present study has been aimed at investigating the existing water resources of the province for the watering operation of the southeastern dust source of Ahvaz with the first priority as a quick solution. Since this site is located within the catchment area of the Koopal River, to study the discharge rate and its runoff the hydrometric station of koopal number 3 was selected. The average discharge and rainfall were surveyed during the years 1982-12014 and 1982-2012 respectively and the soil conservative service method of USA along with GIS and RS techniques were used. The results showed that the average annual discharge rate of the Koopal River was, $2.49 \text{ m}^3/\text{s}$, so that the highest was in winter and the lowest was in summer. On the other hand, the results showed that the studied area from the southeast of Ahwaz can produce an annual runoff volume of 34.14 million cubic meters which is 31 million cubic meters in fall and winter seasons. Therefore, regarding the annual runoff volume of koopal River and the southeast dust source of Ahwaz, especially in the winter season because of the increasing in the frequency of south-eastern wind as the main cause of dust storms phenomenon, to carry out the operations of watering and restoring vegetation cover with a proper management water usage plan in the upstream of the river.

Keywords: Ahwaz Southern east, Dust source, Koopal River, Runoff, SCS Method